

4 下黒部橋(トラスランガー)の載荷実験について

金沢大学工学部 正員 ○ 小堀為雄
 富山県土木部 正員 安原栄光
 富山県土木部 正員 増山拓之

1. まえがき

下黒部橋は黒部川の最下流部に位置し、橋長508.1m
 幅員7.0mの一等橋であり、全景は図-1および写真1に
 示すとおりである。

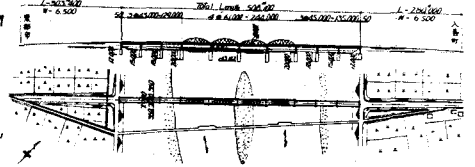


図 1 下黒部橋全体図

本橋の特徴は中央部4径間に新形式のトラスランガ
 ー桁橋を採用していることである。本報告は主として、
 このトラスランガー桁橋について、その概要と本橋で
 採用した十字継手の格点構造応力試験の結果と載荷試験
 の結果について報告する。



写真 1 本橋全景

2. トラスランガー桁の概要

周知のとおり、トラスランガー桁は普通のランガ
 ー桁の鉛直吊材をトラス形式の斜吊材でおきかえそので、
 スエーデンのNielsen氏の提案したNielsen system橋の変形であると考
 られる。

その構造はNielsen systemに較らべて、斜吊材の一部に圧
 縮を許すことができる呉であり、またランガー桁に較らべて補
 剛桁の曲げモーメントをいさぎよく小さく、全体として剛性
 を大きくして固有振動数が大きくなり、一般に走行荷重による
 振動を小さくすることができるなどの呉にある。

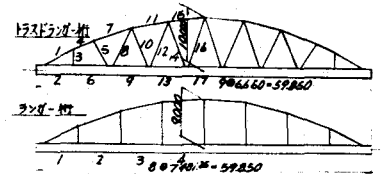


図-2

本橋の設計において図-2に示すようなランガー桁について
 比較設計を行った。表-1に補剛桁の断面力の比較を、図-3に
 曲げモーメントの比較図を示す。本型式を採用したこと
 により、約9%の節
 約に成功した。

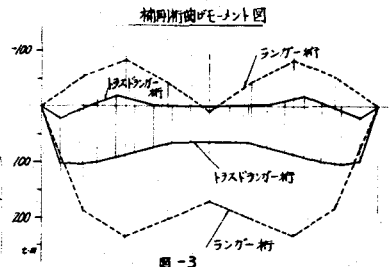


図-3

表-1 補剛桁断面力の比較

断面力	ランガー桁				トラスランガー桁				単位	
	1	2	3	4	2	6	13	17		
曲げモーメント (kg-m)	185.35	233.36	202.29	112.59	99.41	104.27	61.79	65.21	04.23	ton-m
軸力 (kg)	-74.10	-85.12	-43.55	3.04	21.58	7.11	-20.06	-1.66	-0.64	ton-m
せん断力 (kg)	206.22	214.16	231.26	232.6	240.64	240.52	240.52	248.72	49.13	ton
軸力 (kg)	233.28	227.64	214.67	208.53	224.29	224.29	224.29	231.75	232.15	ton

3. 格点構造に関する強度試験

本橋の斜吊材は工形または箱形断面を有しこの斜吊材と補剛桁との連結法について種々の問題点
 あり、これらのことは数回の検討の結果十字溶接継手を採用することに決め、その強度に関する実験を行
 った。特に応力集中、溶接長、疲労強度に注目した。以下にその概要と結果についてのべる。

3-1 試験片および実験方法

十字継手は単独では曲げモーメントやせん断力に抵抗できるものではなく、単に軸方向力、とくに
 引張力に抵抗できるのみである。曲げモーメント、せん断力、あるいは圧縮力に抵抗するためには、

十字継手を組合せた組合せ継手を採用する必要がある。その場合組合せ継手の各十字継手に作用する力は軸方向力のみである。従って四げりモーメント、せん断力、軸方向力を受ける継手における応力状態を知るために引張力を加える十字継手の応力状態を知れば十分である。その故に本実験ではまず十字継手について実験を行なった。

試験片の一例を図-4および5に示す。十字の先端にスカーラップをほどこしたものについても行った。測定は枝の一面に3方向ワイヤストレーンゲージを張りつけ、裏面には光弾性皮膜を張りつけた。

光弾性皮膜は応力集中部や弾塑性応力状態を知る意味から、試験片は反射を良好にするためにプレーナー仕上げとし、皮膜の厚さは3mm(アラルダイト101とハードナー951を100:8)とした。

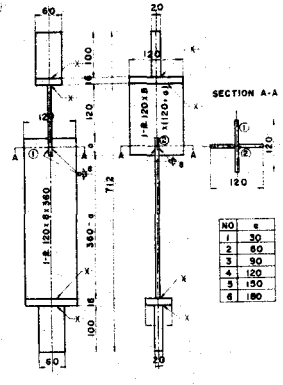


図-4 A型試験片

3-2 実験の結果と考察

実験の結果、各溶接長と終局強度の関係を表2示す。

表2 A型試験片の耐荷力

試験片 No.	溶接長(cm)	母材断面積 (cm ²)	降伏強度 (ton)	終局強度 (ton)
1	3	9.6	—	29.7*
2	6	9.6	26.3 (2740)	39.9*
3	9	9.6	26.4 (2750)	42.4 (4420)
4	12	9.6	25.8 (2690)	42.3 (4410)
5	15	9.6	26.4 (2750)	42.1 (4390)
6	18	9.6	23.4 (2440)	42.6 (4440)

(*) 内は応力度 (kg/cm²) を示す。

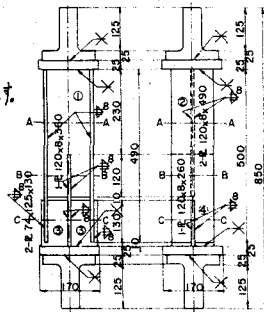


図-5 試験片 B-2

表2の No. 1 と 2 は溶接部で破断したものである。

図-6 に載荷荷重と塑性領域の広がりを示す。この図より十字継手端部の応力集中が大きいかと判かる。しかし表-2 で見られるように終局強度には影響はないようである。

次に、内部応力分布を知るために、光弾性材料による継手模型を作って透視実験を行った。その等色線を写真2-3に示す。

また、先端にスカーラップをほどこしたものは終局強度は小さくなった。さらに疲

勞度についてはくり返し疲勞試験を行った結果、本稿の設計応力の範囲内で問題はなかった。

以上から格尺構造を十字型組合せ継手とした。これによって斜材の力を桁剛性のように分配する

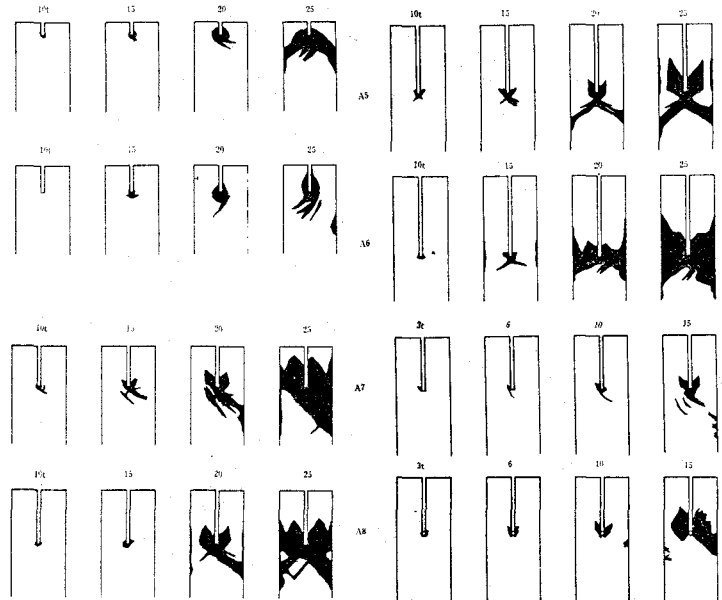


図-6 塑性域のひろがり

ことが可能となり、またランガー桁の一般的問題である橋ゆれに対して剛性を大きくすることが可能であった。

4. 静的載荷試験

トラスランガー ($l=60m$) および合成箱桁 ($l=44.16m$) に各1連を選び、試験車 (総重量 $140t$) 4台による静的載荷試験を行った。測走は各部材応力を測走し、とくに格長継手部の応力集中に重点を置いて測走した。その結果トラスランガーおよび合成箱桁ともに応力状態は計算値とよく一致し、格長継手部の応力集中も認められなかった。

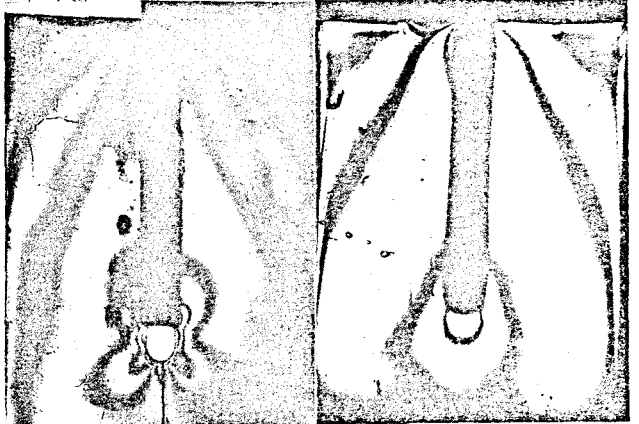


写真 2 トラスランガーの格長継手部の応力測定 (明視野) 写真 3 合成箱桁の格長継手部の応力測定 (明視野)

5. 動的試験

5-1 走行試験車による振動試験

走行車による本橋の振動性状を調らるるために、試験車を $20 km/h$, $40 km/h$, $60 km/h$ とし、1台・2台・3台・4台と連行させて実験を行った。その記録の一例を図-7に示す。また、各振動記録と走行速度と動的係数の関係を整理したのが図-8である。この図より同時に載荷する荷車の数が増えると動的係数が小さくなることがわかる。

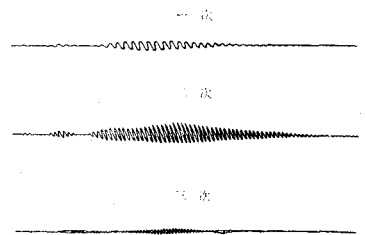


図-7 振動試験の共振記録

5-2 起振器による振動試験

トラスランガー桁のスパン中央とスパン1/4 長に起振器を載せ加振周波数を替えることにより、本橋の周波数特性を調らる。その記録を図-10に示す。

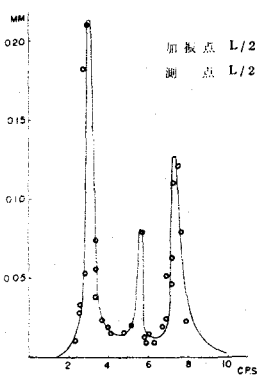


図-10 共振曲線 (振動計)

本橋の固有振動数は1次で $3.2 cps$ 、2次で $5.6 cps$ 、3次で $7.6 cps$ であった。また減衰定数は、基本振動に対して $0.02 \sim 0.03$ であり、一般鋼橋と同程度であった。

b. おおひ

以上、トラスランガー桁橋としての下部橋について、その概要と完成時にあてられた載荷試験の結果について報告した。

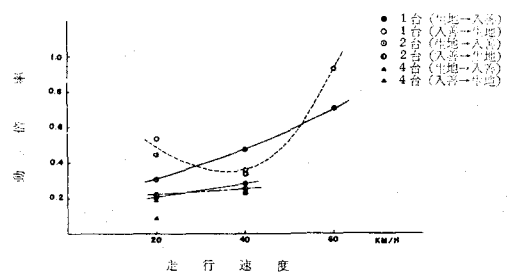


図-8 トラスランガー橋の動係数

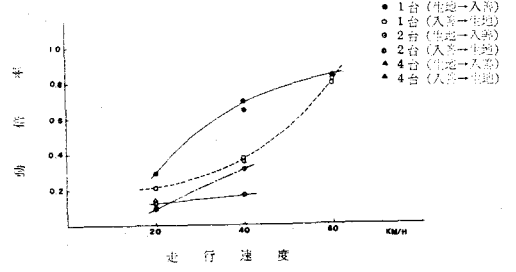


図-9 合成桁の動係数

本橋は鋼重において同一スパンのランガ一桁橋よりの約9%の節約となり、またランガ一特有の振動について、剛性を高めることにより振動を小さくすることができた。また格架構造に十字継手を選んだことや、斜吊材にHおよび箱型を用いたことにより横揺動も小さくすることができた。そのために生じられる格架継手部の応力集中も抑えられた。

最後に本実験についてご指導いただいた金沢大学喜内敏教授、実験にご協力いただいた同吉田博講師ならびに構造力学研究室や富山県入善土木出張所、川田工業株式会社の皆様へ感謝の意を表す。